

# 原发性及转移性胰腺癌细胞中 TGF $\beta$ 1 和 TGF $\beta$ R1 的表达

陈 坚 钟 良<sup>△</sup> 邱冬妮 孙大裕

(复旦大学附属华山医院消化科 上海 200040)

**【摘要】目的** 分别对具有原发癌特性的 BxPC-3 及转移癌特性的 AsPC-1 胰腺癌细胞株中 TGF $\beta$ 1 及其 I 型受体 TGF $\beta$ R1 mRNA 及蛋白的表达情况进行研究。**方法** 采用实时荧光定量 RT-PCR 及 Western blot 方法检测 AsPC-1 和 BxPC-3 胰腺癌细胞中 TGF $\beta$ 1 和 TGF $\beta$ R1 mRNA 及蛋白的表达。**结果** BxPC-3 中 TGF $\beta$ 1 和 TGF $\beta$ R1 的 mRNA 和蛋白均呈低表达, AsPC-1 中 TGF $\beta$ 1 和 TGF $\beta$ R1 的 mRNA 和蛋白呈高表达, 两者相比较有显著统计学差异( $P<0.05$ )。**结论** TGF $\beta$ 1 和 TGF $\beta$ R1 的高表达可能与胰腺癌的远处转移密切相关。

**【关键词】** 胰腺癌; 转化生长因子  $\beta$ 1; 受体

**【中图分类号】** R 735.3<sup>+</sup>4    **【文献标志码】** A

## Expressions of TGF $\beta$ 1 and TGF $\beta$ R1 in primary and metastatic pancreatic cancer cell lines

CHEN Jian, ZHONG Liang<sup>△</sup>, QIU Dong-ni, SUN Da-yu

(Department of Gastroenterology, Huashan Hospital, Fudan University, Shanghai 200040, China)

**【Abstract】 Objective** To compare the different expressions of transforming growth factor beta1(TGF $\beta$ 1) and its type one receptor(TGF $\beta$ R1) between primary pancreatic cancer cell line AsPC-1 and metastatic pancreatic cancer cell line BxPC-3. **Methods** The mRNA expressions of TGF $\beta$ 1 and TGF $\beta$ R1 in AsPC-1 and BxPC-3 pancreatic cancer cell lines were quantitatively by real-time RT-PCR. The protein levels of TGF $\beta$ 1 and TGF $\beta$ R1 in these two cell lines were measured by Western blot assay. **Results** Compared with the primary pancreatic cancer cell AsPC-1, the mRNA and protein expressions of TGF $\beta$ 1 and TGF $\beta$ R1 were much higher in BxPC-3 pancreatic cancer cells( $P<0.05$ ). **Conclusions** Upregulations of TGF $\beta$ 1 and TGF $\beta$ R1 might be a pivotal incidence in the procedure of malignant progressing and metastasis in pancreatic cancer cells.

**【Key words】** pancreatic carcinoma; transforming growth factor beta; receptor

转化生长因子  $\beta$ (transforming growth factor beta, TGF $\beta$ )超家族介导的信号通路是调控肿瘤发生、发展、转移的重要通路。已知 TGF $\beta$  对早期胰腺肿瘤有生长抑制作用, 但对晚期胰腺肿瘤反而有促进浸润转移作用<sup>[1-4]</sup>。目前国内外学者报道 TGF $\beta$ 1 及其 I 型受体 TGF $\beta$ R1 在不同临床分期的胰腺癌中的表达不尽相同, 且机制尚未完全阐明。本文采用实时荧光定量 RT-PCR 及 Western blot 法对具有原发癌特性的 BxPC-3 胰腺癌细胞和转移癌特性的 AsPC-1 胰腺癌细胞中 TGF $\beta$ 1 及 TGF $\beta$ R1 的

mRNA 及蛋白表达水平作比较研究, 以期探讨两者与胰腺癌远处转移的相关性。

## 材料和方法

**主要仪器** 恒温细胞培养箱(NAPCO, series 5400 CO<sub>2</sub> incubator)、超净台、倒置相差显微镜(OLYMPUS)、液氮罐、-80℃深低温冰箱(HARRIS)、高速分散器(上海金达生化仪器厂)、冷冻离心机(Eppendorf公司)、PCR仪(MJ Research

<sup>△</sup>Corresponding author E-mail:zhongniping@163.com

公司)、分析天平等。

**主要试剂** RPMI 1640 培养液(Gibco 公司)添加青霉素 100 U/mL、链霉素 100  $\mu\text{g}/\text{mL}$ ; 10% 小牛血清; 胰蛋白酶(上海华美公司); 低压高容缓冲盐 HEPES(Sigma 公司); Trizol 试剂(Gibco BRL 公司); 反转录酶 M-MLV、dNTP(Promega 公司); Anti-Transforming Growth Factor- $\beta$ 1 (Mouse), Anti-Transforming Growth Factor- $\beta$  soluble Receptor I (Mouse) 及 Anti-mouse IgG HRP Conjugate (1 mg/mL, w402B, 18434101, Merck-Calbiochem 公司)。

**实验材料** 人胰腺癌细胞株 AsPC-1 和 BxPC-3 均由中国科学院上海生物细胞研究所提供。AsPC-1 培养自晚期胰头癌患者的腹水中, 表现转移癌的特性; BxPC-3 培养自人中分化胰腺癌细胞, 具有原发癌的特性。

#### 荧光定量 RT-PCR 检测 TGF $\beta$ 1 和 TGF $\beta$ R1 mRNAs 的表达

**总 RNA 提取** 用 Trizol 一步法分别提取 AsPC-1 和 BxPC-3 细胞的总 RNA。

**逆转录反应(RT)** 逆转录反应严格按照 Applied Biosystems 公司试剂盒说明书进行。采用 PrimerSelect 软件设计 PCR 引物。

TGF $\beta$ 1 引物: 上游引物: 5'-TGCAGCAGCTGTACATTGACTTCC-3'; 下游引物: 5'-GAGGCGCCCAGGTTATGCTGGTT-3'; 目的片段 169 bp; 退火温度 60.5 °C。

TGF $\beta$ R1 引物: 上游引物: 5'-GTGGTTCCGT-GAGGCAGAGATTAA-3'; 下游引物: 5'-TCGCC-GTGGACAGAGCAAGTTTA-3'; 目的片段 209 bp; 退火温度 54.1 °C。

$\beta$ -actin 引物: 上游引物: 5'-GGG GGC ACG AAG GCT CAT CAT T-3'; 下游引物: 5'-GCT GGC CGG GAC CTG ACT GAC TAC-3'; 目的片段 1 kb; 退火温度 50 °C~65 °C。

**荧光定量 PCR 反应体系** ① ddH<sub>2</sub>O 20.35  $\mu\text{L}$ ; ② 10×缓冲液(自制)2.5  $\mu\text{L}$ ; ③ dNTP(10 mmol/L) 0.25  $\mu\text{L}$ ; ④ actin 上游引物(10  $\mu\text{mol}/\text{L}$ ) 0.2  $\mu\text{L}$ ; ⑤ actin 下游引物(10  $\mu\text{mol}/\text{L}$ ) 0.2  $\mu\text{L}$ ; ⑥ TGF $\beta$ 1 (TGF $\beta$ R1) 上游引物(20  $\mu\text{mol}/\text{L}$ ) 0.2  $\mu\text{L}$ ; ⑦ TGF $\beta$ 1 (TGF $\beta$ R1) 下游引物(20  $\mu\text{mol}/\text{L}$ ) 0.2  $\mu\text{L}$ ; ⑧ Taq 酶(自制)0.1  $\mu\text{L}$ ; ⑨ 绿色荧光蛋白; ⑩ 混匀, 分装成 24  $\mu\text{L}$  体系/管, 每管取 1  $\mu\text{L}$  加入模板。

**PCR 程序** ① 94 °C, 2 min; ② 94 °C, 30 s; ③ 59 °C (TGF $\beta$ 1), 54 °C (TGF $\beta$ R1), 30 s; ④ 72 °C, 20 s; ⑤ 重复 2~4 步骤 39 个循环; ⑥ 从 65 °C 到

94 °C, 每升温 1 °C 读取 1 次溶解曲线, 保持 10 s。

#### Western blot 法检测 AsPC-1 和 BxPC-3 中 TGF $\beta$ 1 和 TGF $\beta$ R1 蛋白的表达

**步骤** (1) SDS 聚丙烯酰胺凝胶电泳(SDS-PAGE); (2) 电泳: 与电泳仪连好后上样, 80 V 跑过积层胶后用 120 V 跑完分离胶; (3) 电泳完毕后, 用转膜液浸泡滤纸与硝酸纤维膜, 按照滤纸、硝酸纤维膜、凝胶、滤纸的顺序叠放于电转膜仪上, 赶光气泡后, 用 16mA 电流电转移 2 h; (4) 将转好的膜用少量丽春红染色检查转膜是否完全; (5) 若转得好, 则把膜泡在 5% 溶解脱脂奶粉(用 PBST 溶解)中, 在摇床上缓缓摇动, 封闭 1~1.5 h 左右, 或 4 °C 封闭过夜; (6) 用 PBST 洗膜 3 次, 每次 15 min; (7) 用含 2% BSA 的 PBST 以 1:250 稀释一抗, 摆床中缓缓摇动 2 h, 或 4 °C 封闭过夜; (8) 一抗孵育完毕后, 洗膜 3 次, 每次 15 min; 用含 10% BSA 的 PBST 以 1:50 稀释二抗; (9) 摆床中缓缓摇动 1 h; (10) 二抗孵育完毕后, PBST 洗膜 3 次, 每次 30 min; (11) 1 mL Solution B(Santa Cruz 公司), 3  $\mu\text{L}$  H<sub>2</sub>O<sub>2</sub>, 最后加入 1 mL Solution A(Santa Cruz 公司), 孵育膜 1 min, 将液体吸干后, 入暗室压片、显影; (12) 图像使用 Total Lab1 D-3 软件灰度扫描, 计算目的基因(TGF $\beta$ 1 及 TGF $\beta$ R1)与内参  $\beta$ -Actin 的比值。计算公式: 目的片段值 = 目的片段吸光值(D) × 100/Actin 吸光值

**统计学分析** 应用 Stata 7.0 统计分析软件, 检测数据以( $\bar{x} \pm s$ )表示, 两组间均数的比较用 t 检验,  $P < 0.05$  认为差异有统计学意义。

## 结 果

**两种胰腺癌细胞中 TGF $\beta$ 1 和 TGF $\beta$ R1 mRNAs 的表达** 荧光实时定量 RT-PCR 法检测两种胰腺癌细胞中 TGF $\beta$ 1 和 TGF $\beta$ R1 mRNA 的表达, 每个样本重复 3 次, 取平均值, 结果显示: AsPC-1 及 BxPC-3 中检测到的 TGF $\beta$ 1 的平均循环数阈值(Ct)分别为 15.6 和 20.8 个循环; AsPC-1 及 BxPC-3 中检测到的 TGF $\beta$ R1 的平均循环数阈值(Ct)分别为 11.2 和 25.5 个循环, 再通过 Ct-总 RNA 量标准曲线可以得到 TGF $\beta$ 1 及 TGF $\beta$ R1 的定量结果(表 1 及图 1A、B)。显示 BxPC-3 中 TGF $\beta$ 1 和 TGF $\beta$ R1 均呈低表达; 相反, AsPC-1 中 TGF $\beta$ 1 和 TGF $\beta$ R1 的 mRNA 呈高表达, 差异有统计学意义( $P < 0.01$ )。溶解曲线分析显示: 3 种扩增产物峰形锐利, 产物单一, TGF $\beta$ 1、TGF $\beta$ R1 及  $\beta$ -actin 的 Tm 值分别是 90 °C、75 °C、90 °C。

表 1 两种胰腺癌细胞中 TGF $\beta$ 1 和 TGF $\beta$ R1 的定量 RT-PCR 结果

Tab 1 Quantitive RT-PCR results of TGF $\beta$ 1 and TGF $\beta$ R1 mRNAs in two pancreatic cancer cell lines

	Actin	TGF $\beta$ 1		TGF $\beta$ R1	
		Ct	Quantitative value	Ct	Quantitative value
AsPC-1	14.9	15.6	0.92 ± 0.06	11.2	15.49 ± 1.03
BxPC-3	16.2	20.8	0.07 ± 0.00 <sup>(1)</sup>	25.5	0.10 ± 0.01 <sup>(1)</sup>

<sup>(1)</sup> vs AsPC-1,  $P < 0.01$

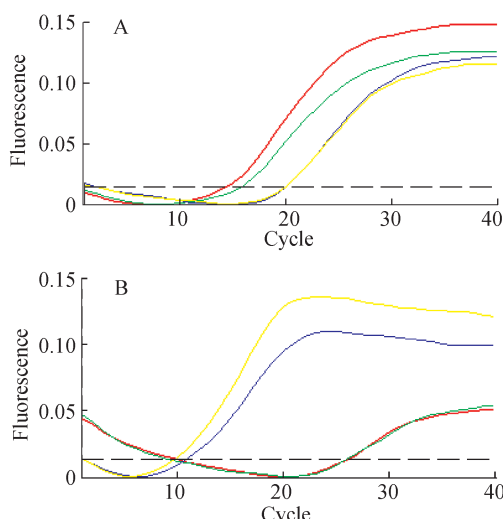


图 1 TGF $\beta$ 1(A) 和 TGF $\beta$ R1(B) 的 PCR 循环曲线

Fig 1 The amplification curve of real-time PCR of TGF $\beta$ 1(A) and TGF $\beta$ R1(B)

A: Green and red lines; AsPC-1; Yellow and blue lines; BxPC-3;  
B: Green and red lines; BxPC-3; Yellow and blue lines; AsPC-1

胰腺癌细胞中 TGF $\beta$ 1 和 TGF $\beta$ R1 的蛋白表达  
Western blot 图象灰度扫描后计算目的基因 (TGF $\beta$ 1 及 TGF $\beta$ R1) 与内参  $\beta$ -actin 的比值, 每个样本重复 3 次, 取平均值, 结果显示: BxPC-3 中 TGF $\beta$ 1 和 TGF $\beta$ R1 蛋白呈低表达, 分别为  $0.11 \pm 0.01$ 、 $1.30 \pm 0.12$ ; 而 AsPC-1 中 TGF $\beta$ 1 和 TGF $\beta$ R1 的蛋白呈高表达, 分别为  $0.79 \pm 0.07$ 、 $6.54 \pm 0.60$ ; 两组间差异显著 ( $P < 0.01$ ) (图 2~4)。

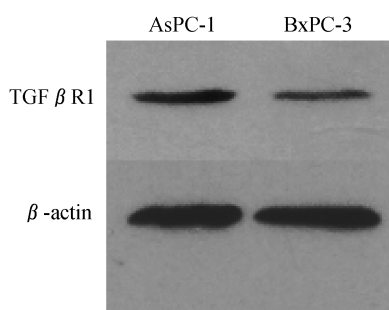


图 2 两种胰腺癌细胞中 TGF $\beta$ 1 的蛋白表达

Fig 2 The TGF $\beta$ 1 protein expression in AsPC-1 and BxPC-3 pancreatic cancer cell lines by Western blot

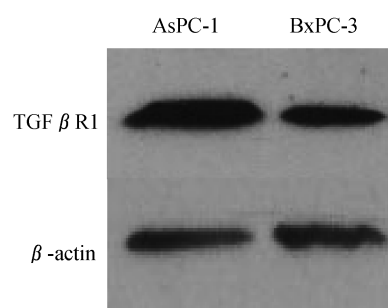


图 3 两种胰腺癌细胞中 TGF $\beta$ R1 的蛋白表达

Fig 3 The TGF $\beta$ R1 protein expression in AsPC-1 and BxPC-3 pancreatic cancer cell lines by Western blot

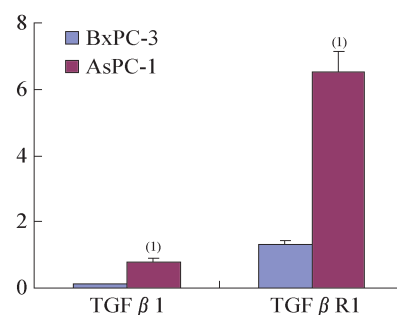


图 4 AsPC-1 及 BxPC-3 细胞中 TGF $\beta$ 1 及 TGF $\beta$ R1 的蛋白表达

Fig 4 TGF $\beta$ 1 and TGF $\beta$ R1 protein levels in AsPC-1 and BxPC-3 pancreatic cancer cell lines

<sup>(1)</sup> BxPC-3 vs AsPC-1,  $P < 0.01$

## 讨 论

荧光定量 RT-PCR 及 Western blot 法检测结果显示: 具有原发癌特性的 BxPC-3 细胞与具有转移癌特性的 AsPC-1 胰腺癌细胞中 TGF $\beta$ 1 和 TGF $\beta$ R1 的表达情况有明显不同。BxPC-3 中 TGF $\beta$ 1 和 TGF $\beta$ R1 的 mRNA 及蛋白均呈低表达, 而 AsPC-1 中 TGF $\beta$ 1 和 TGF $\beta$ R1 的 mRNA 及蛋白均呈高表达。

国内外多项研究显示: 许多肿瘤组织具有 TGF $\beta$ 1 的高表达。在胰腺肿瘤的不同阶段, TGF $\beta$ 1 可表现为两种截然相反的作用: 在肿瘤早期阶段, TGF $\beta$ 1 通过生长周期的阻断而抑制肿瘤生长<sup>[5]</sup>。但在肿瘤进展过程中, 肿瘤细胞可逃逸 TGF $\beta$ 1 的抑增殖机制而出现选择性优势生长<sup>[6,7]</sup>。在胰腺癌晚期, TGF $\beta$ 1 对肿瘤具有促浸润转移作用, 机制与其刺激血管新生、促进细胞外基质合成等因素有关<sup>[8~10]</sup>。最新的研究发现 TGF $\beta$ 1 长期诱导的胰腺癌细胞可发生上皮间质变(EMT)而增加其侵袭性<sup>[11]</sup>。本课题组的研究已发现 TGF $\beta$ 1 与胰腺癌患者年龄、性别、肿瘤组织分化、临床分型均无相关性,

但与肿瘤转移情况或 TNM 分期相关,伴转移的癌组织中 TGF $\beta$ 1 阳性率明显高于无转移者<sup>[1]</sup>。

近年来有关 TGF $\beta$  受体的研究也日益引起重视。许多人类肿瘤中具有 TGF $\beta$  受体的改变,但研究结论却不尽相同。本课题组曾报道<sup>[1]</sup>:TGF $\beta$ R1 在正常胰腺及癌旁组织中均有较高的阳性表达率,而在慢性胰腺炎中则有减弱的趋势,在胰腺肿瘤组织的表达则明显下调。提示 TGF $\beta$ R1 表达降低可能是胰腺肿瘤逃逸 TGF $\beta$ 1 的负性生长调控的机制之一。但由于肿瘤的多样性及复杂性,也有学者报道<sup>[7,12,13]</sup> TGF $\beta$ R1、R2 在胰腺癌中呈过表达。本次研究结果即发现具有转移癌特性的 AsPC-1 胰腺癌细胞株中 TGF $\beta$ R1 明显呈高表达;另有学者报道<sup>[15]</sup> TGF $\beta$ R1 过度表达者其生存率较 TGF $\beta$ R1 低表达者明显缩短。这表明 TGF $\beta$ R1 过表达可能系胰腺癌恶性演进的重要指标。

与原发胰腺癌相比,具有转移癌特性的 AsPC-1 中 TGF $\beta$ 1 和 TGF $\beta$ R1 均呈高表达;临床研究表明 TGF $\beta$ 1 和 TGF $\beta$ R1 的高表达与不良预后直接相关。说明 TGF $\beta$ 1 和 TGF $\beta$ R1 的高表达是胰腺癌恶性演进并远处转移过程中的重要事件,其分子机制及临床意义值得进一步深入研究。

## 参 考 文 献

- [1] 钟良,陈坚,徐近,等.胰腺癌组织中 TGF $\beta$ 1 及其 I 型受体的表达及意义[J].中华消化杂志,2008,28(2):94-97.
- [2] Ottaviano AJ, Sun L, Ananthanarayanan V, et al. Extracellular matrix-mediated membrane-type I matrix metalloproteinase expression in pancreatic ductal cells is regulated by transforming growth factor-beta1 [J]. *Cancer Res*, 2006,66(14):7 032-7 340.
- [3] Fukumura Y, Kumasaka T, Mitani K, et al. Expression of transforming growth factor beta1, beta2, and beta3 in chronic, cancer-associated, obstructive pancreatitis[J]. *Arch Pathol Lab Med*, 2006,130(3):356-361.
- [4] Nio Y, Omori H, Hashimoto K, et al. Immunohistochemical expression of receptor-tyrosine kinase c-kit protein and TGF-beta1 in invasive ductal carcinoma of the pancreas [J]. *Anticancer Res*, 2005,25(5):3 523-3 529.
- [5] 钟良,陈坚,徐近,等.TGF $\beta$ 1 对胰腺癌细胞 BxPC-3 增殖的影响及机制[J].复旦学报:医学版,2008,35(2):181-185.
- [6] Kwak HJ, Park MJ, Cho H, et al. Transforming growth factor-beta1 induces tissue inhibitor of metalloproteinase-1 expression via activation of extracellular signal-regulated kinase and Sp1 in human fibrosarcoma cells[J]. *Mol Cancer Res*, 2006,4(3):209-220.
- [7] Freeman JW, DeArmond D, Lake M, et al. Alterations of cell signaling pathways in pancreatic cancer [J]. *Front Biosci*, 2004,9:1 889-1 898.
- [8] Li C, Guo B, Bernabeu C, et al. Angiogenesis in breast cancer: the role of transforming growth factor beta and CD 105[R]. *Microsc Res Tech*, 2001,52(4):437-439.
- [9] Comijn J, Berx G, Vermassen P, et al. The two-handed E box binding zinc finger protein SIP1 downregulates E-cadherin and induces invasion[J]. *Mol Cell*, 2001,7(6):1 267-1 278.
- [10] Alcock RA, Dey S, Chendil D, et al. Farnesyltransferase inhibitor (L-744,832) restores TGF-beta type II receptor expression and enhances radiation sensitivity in K-ras mutant pancreatic cancer cell line MIA PaCa-2[J]. *Oncogene*, 2002,21(51):7 883-7 890.
- [11] 封明轩,骆明德,费哲为,等.TGF $\beta$ 1 长期诱导胰腺癌细胞发生上皮间质变而增加其侵袭性[J].现代肿瘤医学,2007,15(6):766-769.
- [12] 张丽辉,许凤芝,于伟.TGF $\beta$  II 受体 mRNA 在胰腺癌中的翻译水平[J].中国实用内科杂志,1999,19(3):178-180.
- [13] Jonckheere N, Perrais M, Mariette C, et al. A role for human MUC4 mucin gene, the erbB-2 ligand, as a target of TGF-beta in pancreatic carcinogenesis[J]. *Oncogene*, 2004,23(34):5 729-5 738.
- [14] Sakorafas GH, Tsiotou AG, Tsiotos GG. Molecular biology of pancreatic cancer: oncogenes, tumour suppressor genes, growth factors, and their receptors from a clinical perspective [R]. *Cancer Treat Rev*, 2000,26(1):29-52.

(收稿日期:2008-12-18;编辑:张秀峰)